

НЕЛОКАЛЬНЫЕ ЭФФЕКТЫ В ДВУМЕРНОМ ЭЛЕКТРОННОМ ГАЗЕ С ПЕРИОДИЧЕСКОЙ РЕШЕТКОЙ РАССЕИВАТЕЛЕЙ

*М.В.Буданцев, З.Д.Квон, А.Г.Погосов, А.Е.Плотников, Н.Т.Мошегов,
А.И.Торопов*

*Институт физики полупроводников Сибирского Отделения РАН
630090 Новосибирск, Россия*

Поступила в редакцию 29 января 1996 г.

Исследовано нелокальное сопротивление двумерного электронного газа в периодической решетке антиточек. Обнаружен аномальный рост этого сопротивления при выполнении условия $2R_c \approx d$ (R_c – ларморовский радиус), вызванный возникновением траекторий, скачущих по антиточкам и убегающих вдоль их рядов. На основе сравнительного анализа локального и нелокального магнетосопротивления установлено соответствие между характером электронных траекторий в биллиарде и особенностями магнетотранспорта.

PACS 73.40.-с

Вот уже на протяжении нескольких лет исследования двумерного электронного газа в периодической решетке "антиточек" привлекают неизменный интерес, так как эта система представляет собой экспериментальную реализацию системы с динамическим хаосом. Одно из наиболее интересных ее свойств — это возникновение осцилляций магнетосопротивления (МС) при определенных соотношениях между ларморовским радиусом и периодом решетки, обнаруженных в целом ряде работ [1–4]. Несмотря на широкие исследования, однозначное объяснение природы этих осцилляций до сих пор остается предметом дискуссий. К настоящему времени предложено два объяснения. В работе [5] показано, что при определенных магнитных полях, соответствующих соизмеримости R_c периоду решетки в различных кристаллографических направлениях, в системе возникают электронные траектории, скачущие по антиточкам и убегающие вдоль этих направлений (траектория A на рис.1). В работах [2,6] происхождение соизмеримых осцилляций связывают с возникновением локализованных электронных орбит, окружающих одну или несколько антиточек и не сталкивающихся с ними (траектория B на рис.1). Однако несмотря на то, что теоретически показана возможность существования как скачущих, так и локализованных орбит, до настоящего времени не было экспериментальных работ, где бы удалось однозначно разделить вклад тех и других траекторий в МС двумерного газа с решеткой антиточек.

Очевидно, что траектории этих двух типов играют совершенно различную роль в распределении электрохимического потенциала в образце. Если локализованные орбиты практически не передают электрохимический потенциал, то электроны, движущиеся по скачущим траекториям, совершают баллистический пролет через образец на расстояние порядка длины свободного пробега в образце без антиточек, тем самым передавая потенциал на большие расстояния. Такие убегающие траектории должны приводить к возникновению нелокальных эффектов в системах, размеры которых сравнимы с длиной свободного пробега по скачущим траекториям.

В настоящей работе экспериментально исследовано нелокальное сопротивление двумерного электронного газа (2ДЭГ) с квадратной решеткой антиточек, и на основе сравнения исклокального и локального МС проведена классификация особенностей МС этой системы.

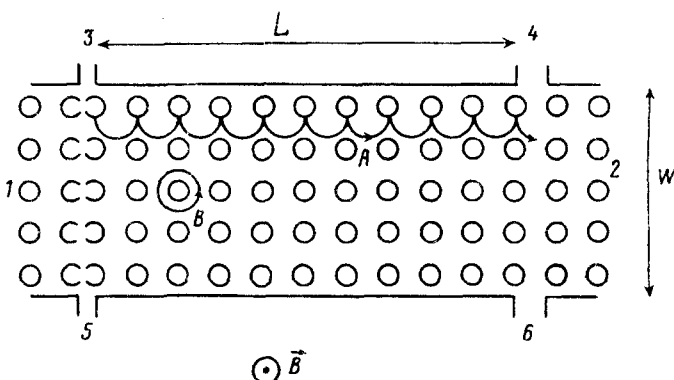


Рис.1. Схематическое изображение образца с антиточками с указанием устойчивых траекторий: A — убегающая электронная траектория, B — локализованная траектория

Экспериментальные образцы изготавливались на основе высокоподвижного 2ДЭГ в гетероструктурах AlGaAs/AlGa. При $T = 4.2$ К для образцов первой (N1) и второй (N2) групп подвижность и концентрация 2ДЭГ, измеренные по осцилляциям Шубникова–де Гааза, составляли $\mu = 640\ 000$ см 2 /Вс и $n_s = 3,8 \cdot 10^{11}$ см $^{-2}$, соответственно. Для образцов третьей группы (N3) $\mu = 820\ 000$ см 2 /Вс и $n_s = 5,6 \cdot 10^{11}$ см $^{-2}$. При таких параметрах длина свободного пробега в образце без антиточек составляет $l \approx 6 \div 7$ мкм в образцах N1 и N2 и $l \approx 10$ мкм для образцов N3. Периодические решетки антиточек изготавливались с помощью электронной литографии с последующим реактивным ионным травлением. Изучались квадратные решетки антиточек, период d которых для образцов N1 и N2 составлял 0,5 мкм, а для образцов N3 $d = 0,8$ мкм. Литографический диаметр антиточек a для всех образцов составлял 0,1 мкм.

На рис.1 схематически изображена геометрия исследуемых образцов. Они представляли собой холловские мостики, с отношением длины к ширине $L/W = 2$. Исследовались образцы трех размеров. Образцы малых размеров N1 и N3 были сравнимы с длиной свободного пробега l в исходном 2ДЭГ. В образцах N1 L и W были равны 10 и 5 мкм, соответственно, а в образцах N3 $L = 16$ мкм и $W = 8$ мкм. Размеры образцов N2 существенно превышали длину свободного пробега и имели $L = 100$ мкм и $W = 50$ мкм. Ширина входа в потенциометрический контакт для образцов с малыми размерами составляла 3 мкм, а в образцах N2 — 5 мкм. Измерение локального сопротивления R_{loc} проводилось в обычной схеме включения холловского мостика, когда ток пропускается через контакты 1 и 2, а напряжение снимается с контактов 3 и 4. Нелокальное сопротивление R_{nonl} измерялось при пропускании тока через контакты 3 и 5, а напряжение снималось с контактов 4 и 6. При

такой схеме включения плотность тока через образец имеет максимум на линии, соединяющей токовые контакты 3 и 5, и сильно уменьшается вблизи потенциометрических контактов 4 и 6, находящихся на значительном удалении от токовых. Таким образом, эта схема включения является нелокальной.

Экспериментально исследовались локальное и нелокальное сопротивления на переменном сигнале. Амплитуда переменного тока через образец составляла 1 мА, а его частота $f = 70$ Гц. Измерения проводились при температуре $T = 4.2$ К в магнитных полях до 8 Тл.

На рис.2 приведены зависимости локального и нелокального сопротивлений от магнитного поля для образца с малыми размерами группы N1. В нулевом магнитном поле отношение R_{loc}/R_{nonl} составляет примерно 400, что говорит о достаточно сильном удалении потенциометрических контактов от токовых в нелокальной схеме включения и, следовательно, о нелокальном характере таких измерений. Качественно обе эти зависимости похожи. Они имеют два соизмеримых максимума. Относительная амплитуда первой соизмеримой осцилляции (отношение сопротивления в максимуме к сопротивлению в минимуме перед этим максимумом), наблюдаемой в слабых магнитных полях, как в локальном, так и в нелокальном сопротивлении составляет 10–20%. Однако в области основного соизмеримого максимума, когда $2R_c \approx d$, относительная амплитуда соизмеримой осцилляции в нелокальном сопротивлении аномально велика по сравнению с амплитудой локального, и составляет 140%, в то время как амплитуда в R_{loc} равна 20%. Условие соизмеримости циклотронного диаметра и периода решетки антиточеч для концентрации $2\text{ДЭГ } n_s = 3.8 \cdot 10^{11} \text{ см}^{-2}$ выполняется при магнитном поле $B = 0.41$ Тл. Положение пика основной соизмеримой осцилляции в R_{nonl} находится при $B = 0.39$ Тл, что практически соответствует условию соизмеримости. В отличие от нелокального сопротивления, пик локального находится при $B = 0.35$ Тл, то есть сдвинут в сторону более низких магнитных полей.

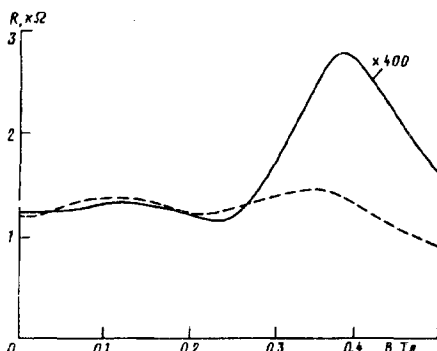


Рис.2. Экспериментальные зависимости локального R_{loc} (штриховая линия) и нелокального сопротивления R_{nonl} (сплошная линия) для образца группы N1 ($d = 0.5$ мкм, $L = 10$ мкм, $W = 5$ мкм) от магнитного поля

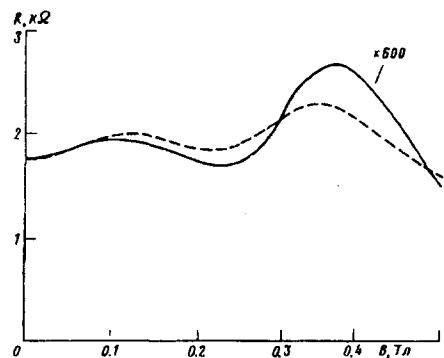


Рис.3. Экспериментальные зависимости локального $R_{loc}(B)$ (штриховая линия) и нелокального сопротивления $R_{nonl}(B)$ (сплошная линия) для образца группы N2 ($d = 0.5$ мкм, $L = 100$ мкм, $W = 50$ мкм) от магнитного поля

На рис.3 показаны зависимости $R_{loc}(B)$ и $R_{nonl}(B)$ для образца группы N2 с размерами $L \times W = 100 \times 50$ мкм. В нулевом магнитном поле $R_{loc}/R_{nonl} \approx 600$.

В области первого соизмеримого максимума, лежащего в слабых магнитных полях, зависимости практически имеют один и тот же вид, и относительная амплитуда соизмеримой осцилляции составляет $\approx 10\%$ как для локального, так и для нелокального сопротивлений. В области магнитных полей, когда $2R_c \approx d$, нелокальное сопротивление имеет большую относительную амплитуду соизмеримого максимума по сравнению с амплитудой локального. Видно, что эффект нелокальности наблюдается и в образцах с большими размерами, хотя он гораздо слабее, чем в малых образцах. Пик нелокального сопротивления находится при $B = 0.38$ Тл, и лежит ближе к магнитному полю, соответствующему условию соизмеримости, чем пик локального, который сдвинут в сторону слабых магнитных полей ($B = 0.36$ Тл).

Типичные зависимости локального и нелокального сопротивлений от магнитного поля для образцов группы N3 приведены на рис.4. В отсутствие магнитного поля отношение локального и нелокального сопротивлений $R_{loc}/R_{nonl} \approx 300$. Различие в отношении R_{loc}/R_{nonl} для разных образцов может объясняться влиянием размеров потенциометрических контактов, что особенно критично для образцов с малыми размерами. Так же, как и для образцов 1 и 2, зависимости локального и нелокального сопротивлений имеют два соизмеримых максимума. В магнитных полях, соответствующих основному соизмеримому максимуму $2R_c \approx d$, относительная амплитуда основного соизмеримого максимума составляет 300%, значительно превышая амплитуду осцилляции локального сопротивления, которая составляет всего 30%. В области слабых магнитных полей до 0.05 Тл наблюдается качественное различие в ходе кривых R_{loc} и R_{nonl} . В R_{nonl} наблюдается отрицательное МС, а в R_{loc} – положительное.

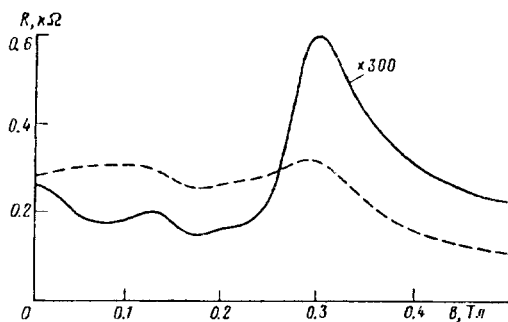


Рис.4. Экспериментальные зависимости локального R_{loc} (штриховая линия) и нелокального сопротивления R_{nonl} (сплошная линия) для образца группы N3 ($d = 0.8$ мкм, $L = 16$ мкм, $W = 8$ мкм) от магнитного поля

Обсудим полученные результаты. Хорошо известен эффект нелокальности, возникающий в двумерном электронном газе в условиях квантового эффекта Холла. В этом случае появление нелокального сопротивления связано с переносом электронов по краевым состояниям с большой длиной перемешивания. При этом электрохимический потенциал практически без потерь передается от токовых контактов к потенциометрическим, что и приводит к большому значению нелокального сопротивления. В ДЭГе с решеткой антиточек при магнитных полях, соответствующих соизмеримому максимуму, когда такие краевые состояния еще не сформировались, аномальный рост R_{nonl} может объясняться возникновением устойчивых электронных траекторий, убегающих вдоль рядов антиточек [5] (см. рис. 1, траектория A). С точки зрения переноса электрохимического потенциала, эти траектории играют роль, аналогичную краевым токовым состояниям в квантовом эффекте Холла. Приобретая элек-

тройхимический потенциал вблизи токового контакта, электроны, совершающие баллистический пролет по скачущим орбитам, более эффективно переносят его к потенциометрическому контакту, чем диффундирующие обычным образом. То есть в магнитных полях, при которых существуют скачущие траектории, передача электрохимического потенциала от токового контакта к потенциометрическому, а значит, и нелокальное сопротивление, резко увеличиваются. Этим и объясняется аномальный рост нелокального сопротивления в области основного соизмеримого максимума.

Из сравнения $R_{nonl}(B)$ для образцов малых и больших размеров видно, что величина нелокального эффекта, как это и должно быть, сильно зависит от размеров образца. Однако несмотря на то, что размеры большого образца более чем на порядок превышают l , нелокальные эффекты проявляются и в этих образцах (рис. 3).

Следует отметить, что для образцов N1 и N2 ($d = 0.5$ мкм), как было указано ранее, относительные амплитуды локального и нелокального МС в области максимума в слабых полях (в отличие от основного максимума) практически совпадают. Это означает, что первый максимум связан, в основном, с возникновением локализованных электронных траекторий.

Таким образом, измерения нелокального и локального МС, полученные для образцов первой и второй групп, дают основание сделать вывод о том, что для этих образцов основной максимум МС, соответствующий условию $2R_c = d$, связан с возникновением убегающих траекторий, а максимум, соответствующий более слабым магнитным полям, обусловлен локализованными траекториями. Подобное заключение было сделано недавно [7], но из косвенных данных путем пересчета измеренных значений компонент тензора МС ρ_{xx} и ρ_{xy} в компоненты тензора проводимости σ_{xx} и σ_{xy} .

Выше было отмечено, что результаты, полученные для образцов группы N3 ($d = 0.8$ мкм), носят несколько иной характер. В области магнитных полей, соответствующих первому максимуму локального МС, сначала наблюдается уменьшение нелокального сопротивления, затем небольшой пик при $B = 0,13$ Тл, положение которого соответствует убеганию вдоль направления (l , 2), после которого следует основной максимум. Подобное поведение заставляет предположить, что первый максимум МС для образцов группы N3 не связан с формированием локализованных траекторий, а имеет другую причину. Такой причиной может быть подавление эффектов канализирования, когда электроны, летящие вдоль рядов антиточек (канализирующие электроны), отклоняются достаточно слабым магнитным полем и начинают интенсивно рассеиваться ими. Результатом этого является локальное положительное МС, подобное тому, которое наблюдалось в баллистических проволоках с диффузно рассеивающими стенками [8] и одномерных электронных биллиардах [9], и нелокальное отрицательное МС, так как подавление канализирования должно сопровождаться резким уменьшением эффективности передачи потенциала. Заметим, что подобное поведение должно наблюдаться и в образцах N1 и N2, однако в них эффект канализирования мал и не дает заметного вклада в проводимость вследствие меньшего отношения d/a .

В заключение обратим внимание на еще один интересный факт, который уже упоминался при описании экспериментальных кривых: на всех образцах пик нелокального сопротивления лежит чуть правее пика локального сопротивления. По-видимому, это указывает на тот факт, что положение максимума

в зависимости $\rho_{xx}(B)$ не совсем точно соответствует условию соизмеримости вследствие того, что ρ_{xx} является по существу сложной комбинацией диссипативного σ_{xx} и холловского σ_{xy} тензоров проводимости.

Таким образом, в работе экспериментально исследовано нелокальное сопротивление ДЭГ с периодической решеткой антиточек. Показано, что его изучение позволяет получить уникальную информацию, связывающую особенности МС этой системы с характером динамического хаоса в ней.

Работа осуществлена при поддержке совместной программы Международного фонда Сороса и Российского правительства (грант NQS300), а также Российского фонда фундаментальных исследований (грант 95-02-04583а).

-
1. K.Ensslin and P.M.Petroff, Phys. Rev. B **41**, 12307 (1990).
 2. D.Weiss, M.L.Roukes, A.Menschig et al., Rhys. Rev Lett. **66**, 2790 (1991).
 3. Г.М.Гусев, В.Т.Долгополов, З.Д.Квон и др., Письма в ЖЭТФ **54**, 369 (1991).
 4. G.M.Gusev, Z.D.Kvon, L.V.Litvin et al., J. Phys. Cond. Matter. **41**, L269 (1992)
 5. Э.М.Баскин, Г.М.Гусев, З.Д.Квон, А. Г.Погосов и др., Письма в ЖЭТФ **55**, 649 (1992).
 6. R.Fleischmann et al., Phys. Rev. Lett. **68**, 1367 (1992).
 7. R.Schuster, G.Ernst, K.Ensslin, M. Entin et al., Phys. Rev. B **50**, 8090 (1994)
 8. T.J.Tornton, M.L.Roukes, A.S.Scherer, and B.P. van de Gaag, Phys. Rev. Lett. **63**, 2128 (1989).
 9. M.V.Budantsev, Z.D.Kvon, A.G.Pogosov et al., *Magnetotransport in one-dimensional electron Sinai Billiards*, Surf. Sc., to be published.